

# Esquemas de assinatura digital pós-quânticos baseados em AES

Gustavo Zambonin   Marcello Klingelfus



Universidade Federal de Santa Catarina  
Departamento de Informática e Estatística  
INE5424 — Sistemas Operacionais II

`{gustavo.zambonin,marcello.klingelfus}@grad.ufsc.br`

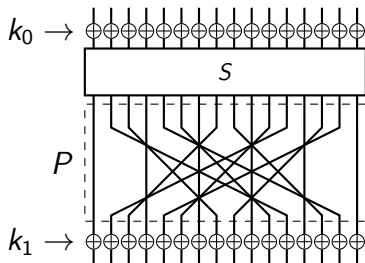
# Motivação

- ▶ Segurança de esquemas de assinatura digital é baseada em teoria de números ou problemas algébricos
  - ▶ Insuficiente no âmbito de computadores quânticos
  - ▶ Criptografia pós-quântica é independente destes problemas
- ▶ Funções de mão única são necessárias e suficientes para assinatura digital [Rom90]
  - ▶ Base teórica de funções de resumo criptográfico
  - ▶ Livre escolha, critério situacional (hardware, software)
  - ▶ Cifras de bloco são utilizadas em sua construção [MVO96, Sec. 9.14]

# AES

## Definições

- ▶ Versão padronizada pelo NIST do algoritmo Rijndael [DR02]
  - ▶ Principais escolhas de design: inversibilidade e eficiência
- ▶ Cifra de blocos parametrizada por uma chave  $K$
- ▶ Conceito de rede de substituição-permutação



Exemplo de rede de substituição-permutação com apenas uma rodada. Note que  $P$  pode ser substituída por vários passos de difusão.

# AES

## Definições

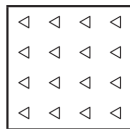
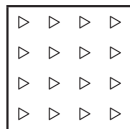
- ▶  $|K| \in \{128, 192, 256\}$ 
  - ▶ 10, 12 ou 14 rodadas ( $n_r$ ), respectivamente
- ▶  $P$  é composta de dois passos
- ▶ Modifica uma matriz de estado  $A$ ,  $A_{i,j} \in \mathbb{F}_{2^8}$ ,  $0 \leq i, j \leq 3$ 
  - ▶ Para uma mensagem  $m$ ,  $A_{i,j} = m_{i+4j}$
- ▶ Operações sobre bytes análogas a cálculos em  $\mathbb{F}_{2^8}$ 
  - ▶ Adição equivalente a “ou exclusivo”
  - ▶ Multiplicação usual, módulo o polinômio irredutível  $x^8 + x^4 + x^3 + x + 1$

# AES

## Etapa *SubBytes*

- ▶ Caixa de substituição (*S-box*) aplicada em cada  $A_{i,j}$  individualmente
- ▶ Única etapa não-linear da cifra
- ▶ Transformação afim sobre  $a = A_{i,j}^{-1}$

$$A'_{i,j} = \begin{matrix} 1 & 0 & 0 & 0 & 1 & 1 & 1 & 1 \\ 1 & 1 & 0 & 0 & 0 & 1 & 1 & 1 \\ 1 & 1 & 1 & 0 & 0 & 0 & 1 & 1 \\ 1 & 1 & 1 & 1 & 0 & 0 & 0 & 1 \\ 1 & 1 & 1 & 1 & 1 & 0 & 0 & 0 \\ 0 & 1 & 1 & 1 & 1 & 1 & 0 & 0 \\ 0 & 0 & 1 & 1 & 1 & 1 & 1 & 0 \\ 0 & 0 & 0 & 1 & 1 & 1 & 1 & 1 \end{matrix} \cdot \begin{matrix} a_0 \\ a_1 \\ a_2 \\ a_3 \\ a_4 \\ a_5 \\ a_6 \\ a_7 \end{matrix} + \begin{matrix} 1 \\ 1 \\ 0 \\ 0 \\ 0 \\ 1 \\ 1 \\ 0 \end{matrix}$$



Pictogramas para as etapas *SubBytes* (acima) e sua inversa *InvSubBytes*.

- ▶ *InvSubBytes*: inversa da transformação afim

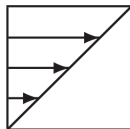
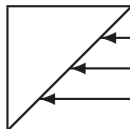
# AES

## Etapa *ShiftRows*

- ▶ Rotacionamento cíclico das linhas de  $A$
- ▶ Provê difusão, impede que a cifra aja separadamente sobre as linhas

$a$	$b$	$c$	$d$	$\rightarrow$	$a$	$b$	$c$	$d$
$e$	$f$	$g$	$h$		$f$	$g$	$h$	$e$
$i$	$j$	$k$	$l$		$k$	$l$	$i$	$j$
$m$	$n$	$o$	$p$		$p$	$m$	$n$	$o$

- ▶ *InvShiftRows*: rotacionamento inverso



Pictogramas para as etapas *ShiftRows* (acima) e sua inversa *InvShiftRows*.

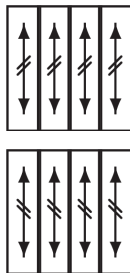
# AES

## Etapa *MixColumns*

- ▶ Permutação operando em cada coluna de  $A$ , também provendo difusão
- ▶  $a = A_j$  tratada como um polinômio e multiplicada por uma constante

$$a' = (a_3x^3 + a_2x^2 + a_1x^1 + a_0x^0) \cdot (3x^3 + x^2 + x + 2) \pmod{x^4 + 1}$$

- ▶ *InvMixColumns*: multiplicação por  $(3x^3 + x^2 + x + 2)^{-1}$



Pictogramas para as etapas *MixColumns* (acima) e sua inversa *InvMixColumns*.

# AES

## Rotina *KeyExpansion* e etapa *AddRoundKey*

- *KeyExpansion*: chave expandida  $K^e$ ,  $\ell = \frac{|K|}{32}$  palavras por rodada
- “*Round constants*”:  
 $RC_0 = x^0, RC_1 = x^1, RC_j = x^{j-1} \cdot RC_{j-1}, j > 2$

$$K^e = (\overbrace{k_0, \dots, k_{\ell-1}}^K, k_\ell, \dots, k_{(n_r+1) \cdot \ell - 1})$$

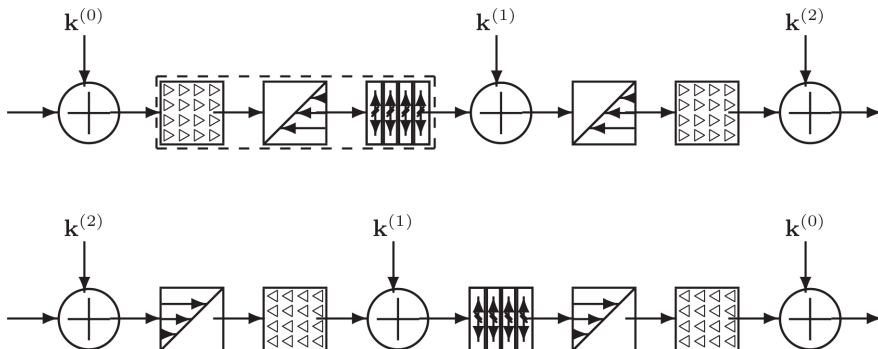
$$k_i = k_{i-\ell} + \begin{cases} \text{SubBytes}(k_{i-1} \stackrel{\curvearrowright}{\ll} 8) + RC_{\frac{i}{\ell}}, & \text{se } i \equiv 0 \pmod{4} \\ \text{SubBytes}(k_{i-1}), & \text{se } \ell = 8 \text{ e } i \equiv 4 \pmod{8} \\ k_{i-1}, & \text{caso contrário.} \end{cases}$$

- *AddRoundKey*:  $A' = A + (k_{\ell \cdot i}, \dots, k_{\ell \cdot (i+1) - 1}), 0 \leq i \leq n_r$



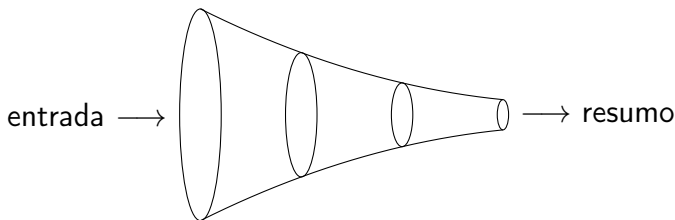
# AES

Representação gráfica da codificação e decodificação para  $n_r = 2$



# Funções de resumo criptográfico

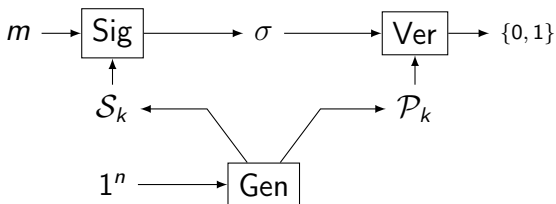
$$\mathcal{H} : \{0, 1\}^* \longrightarrow \{0, 1\}^n$$



- ▶ SHA-2, SHA-3, BLAKE:  $n \in \{224, 256, 384, 512\}$
- ▶ Keccak: qualquer  $n$
- ▶ Resistência à pré-imagem, segunda pré-imagem, colisão

# Assinatura digital

- ▶ Provê autenticação, integridade e não-repúdio
- ▶ Baseado em criptografia de chaves públicas
- ▶ Tripla de algoritmos probabilísticos de tempo polinomial [Gol04]
  - ▶ Geração de chaves ( $Gen$ ), geração da assinatura ( $Sig$ ), verificação da assinatura ( $Ver$ )



# Esquemas de assinatura única

- ▶ Par de chaves só deve ser utilizado uma única vez
- ▶ Lamport-Diffie (LD-OTS)
  - ▶ Primeiro esquema baseado em resumos
  - ▶ Mensagens de tamanho arbitrário podem ser assinadas, um bit por vez
- ▶ Winternitz (WOTS)
  - ▶ Múltiplos bits podem ser assinados simultaneamente
  - ▶ Generalização do LD-OTS
  - ▶ Compensação entre desempenho e tamanho da assinatura

# Winternitz OTS

## Geração de chave

Seja  $w \in \mathbb{N}$ ,  $w > 1$  o parâmetro Winternitz,  $f : \{0, 1\}^n \rightarrow \{0, 1\}^n$  e  $\mathcal{H} : \{0, 1\}^* \rightarrow \{0, 1\}^n$ . Então,

$$t_1 = \left\lceil \frac{n}{w} \right\rceil, t_2 = \left\lceil \frac{\lfloor \log_2 t_1 \rfloor + 1 + w}{w} \right\rceil \text{ e } t = t_1 + t_2.$$

As chaves privada e pública são, respectivamente,

$$\begin{aligned} \mathcal{S}_k &= (y_{t-1}, \dots, y_0) \xleftarrow{\$} \{0, 1\}^n \text{ e} \\ \mathcal{P}_k &= (f^{2^w-1}(y_{t-1}), \dots, f^{2^w-1}(y_0)). \end{aligned}$$

Os valores  $\epsilon_i \in \{0, 1\}^w$  são obtidos através de:

$$\begin{aligned}\mathcal{H}(m) &= (\epsilon_{t-1}, \dots, \epsilon_{t-t_1}) \\ c &= \sum_{i=t-t_1}^{t-1} (2^w - 1 - \epsilon_i) \\ &= (\epsilon_{t_2-1}, \dots, \epsilon_0)\end{aligned}$$

Finalmente, a assinatura de uso único é construída:

$$\sigma = (f^{\epsilon_{t-1}}(y_{t-1}), \dots, f^{\epsilon_0}(y_0))$$

# Winternitz OTS

## Verificação

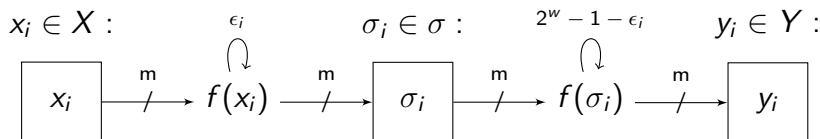
Relembrando,

$$\mathcal{P}_k = (f^{2^w-1}(y_{t-1}), \dots, f^{2^w-1}(y_0)) \text{ e} \\ \sigma = (f^{\epsilon_{t-1}}(y_{t-1}), \dots, f^{\epsilon_0}(y_0)).$$

Os elementos  $\epsilon_i$  são calculados e utilizados na verificação de  $\sigma$ :

$$\forall \sigma_i \in \sigma, f^{2^w-1-\epsilon_i}(\sigma_i) = \mathcal{P}_{k_i}$$

Resumidamente,



# Winternitz OTS

## Variante WOTS+

- ▶ Elimina a necessidade de  $\mathcal{H}$  resistente a colisões
  - ▶ Modificação da função de iteração  $f$  para uma família  $\mathcal{F}_k : \{f_k : \{0, 1\}^n \longrightarrow \{0, 1\}^n \mid k \in \mathcal{K}_n\}$
- ▶ Máscaras de bits aleatórias em cada iteração

$$\begin{aligned} r &= (r_0, \dots, r_{2^w-1}) \xleftarrow{\$} \{0, 1\}^n \\ c_k^0(x, r) &= x \\ c_k^i(x, r) &= f_k(c_k^{i-1}(x, r) \oplus r_i). \end{aligned}$$

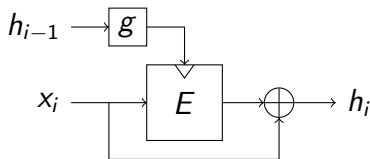
- ▶ Derivação de  $f$  a partir de uma cifra de bloco



# Winternitz OTS

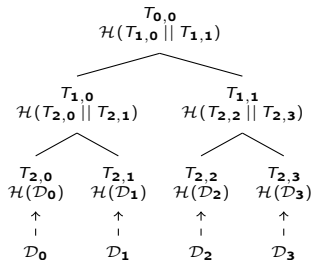
Utilizando AES como  $f_k$  em WOTS+

- ▶ Construção Matyas-Meyer-Oseas [MVO96, Sec. 9.41]
  - ▶ Tome uma cifra  $E_K$  com bloco de  $n$  bits
  - ▶ Divida a entrada em  $k$  blocos de  $n$  bits,  $X = (x_0, \dots, x_{k-1})$
  - ▶ Tome um valor inicial  $IV$  e uma função  $g$  que gere chaves válidas para  $E$
  - ▶  $h_0 = IV, h_i = E_{g(h_{i-1})}(x_i) \oplus x_i, 1 \leq i \leq k$



# Esquemas baseados em árvores de Merkle

- ▶ Assinaturas únicas em cada folha, árvore construída a partir de chaves públicas
- ▶ Estado da arte dos esquemas baseados em funções de resumo criptográfico
- ▶ XMSS, XMSS<sup>MT</sup>, SPHINCS



Seja  $\mathcal{D}_n$  um dado qualquer. Uma árvore de Merkle é construída recursivamente através da concatenação dos resumos dos filhos de um nó.

# Bibliografia I



Joan Daemen and Vincent Rijmen.

*The Design of Rijndael.*

Springer-Verlag New York, Inc., Secaucus, NJ, USA, 2002.



Oded Goldreich.

*Foundations of Cryptography: Volume 2, Basic Applications.*

Cambridge University Press, New York, NY, USA, 2004.



Alfred J. Menezes, Scott A. Vanstone, and Paul C. Van Oorschot.

*Handbook of Applied Cryptography.*

CRC Press, Inc., Boca Raton, FL, USA, 1st edition, 1996.



J. Rompel.

One-way Functions Are Necessary and Sufficient for Secure Signatures.

In *Proceedings of the Twenty-second Annual ACM Symposium on Theory of Computing*, STOC '90, pages 387–394, New York, NY, USA, 1990. ACM.